

С 344. 1д

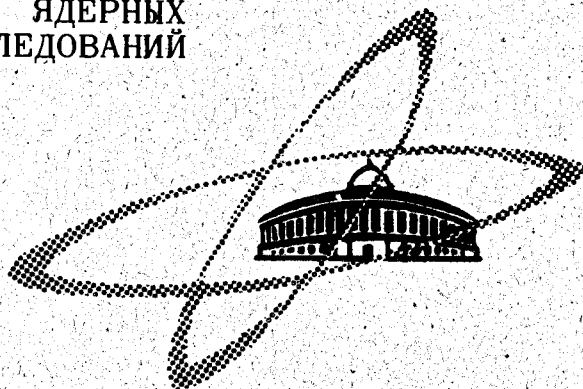
5/2 - 40

Б - 733

СООБЩЕНИЯ  
ОБЪЕДИНЕННОГО  
ИНСТИТУТА  
ЯДЕРНЫХ  
ИССЛЕДОВАНИЙ

Дубна

13 - 5211



В.А. Богач, Е.В. Гераскин, В.Г. Гребинник,  
В.А. Жуков, Л.З. Камский, В.Ф. Кечкин,  
Н.А. Полковникова, Г.И. Селиванов

МЕТОДЫ ЯДЕРНЫХ ПРОБЕЛ

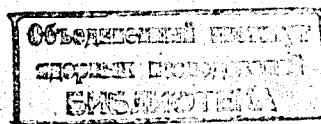
СВЕРХПРОВОДЯЩИЕ КАБЕЛИ  
ДЛЯ 40-САНТИМЕТРОВОГО СОЛЕНОИДА  
ЖИДКОВОДОРОДНОЙ ПУЗЫРЬКОВОЙ КАМЕРЫ

1970

13 - 5211

8488/2. №  
В.А. Богач, Е.В. Гераскин, В.Г. Гребинник,  
В.А. Жуков, Л.З. Камский, В.Ф. Кечкин,  
Н.А. Полковникова, Г.И. Селиванов

СВЕРХПРОВОДЯЩИЕ КАБЕЛИ  
ДЛЯ 40-САНТИМЕТРОВОГО СОЛЕНОИДА  
ЖИДКОВОДОРОДНОЙ ПУЗЫРЬКОВОЙ КАМЕРЫ



Для обеспечения стабильной работы крупных сверхпроводящих соленоидов при максимально возможных соединенных плотностях тока в их обмотках используются комбинированные проводники<sup>/1,2/</sup>, состоящие из сверхпроводящего материала и находящегося с ним в тесном электрическом и тепловом контакте нормального металла с малым удельным электрическим сопротивлением при гелиевых температурах. Степень стабилизации такого проводника определяется параметром  $\alpha$ , введенным Стекли<sup>/2/</sup>:

$$\alpha = \frac{I_c^2 R}{h A (T_{ch} - T_b)}, \quad (1)$$

где:  $I_c$  – критический ток сверхпроводника в данном магнитном поле;

$T_{ch}$  – критическая температура при нулевом токе в данном магнитном поле;

$T$  – температура гелиевой ванны;

$R$  – сопротивление на единицу длины проводника;

$A$  – площадь, приходящаяся на единицу длины проводника;

$h$  – коэффициент теплоотдачи от поверхности к жидкому гелию.

Условие  $\alpha < 1$  характеризует стабильное сверхпроводящее состояние комбинированного проводника при транспортном токе, равном критическому. Если  $\alpha > 1$ , то проводник является частично стабилизованным. В этом случае стабильное сверхпроводящее состояние возможно лишь при токах, меньших, чем  $I_c$ :

$$I_t = \frac{I_c}{\sqrt{\alpha}} . \quad (2)$$

Важнейшими характеристиками комбинированных проводников являются критический ток  $I_c$ , ток перехода в состояние нормальной проводимости  $I_t$ , ток восстановления сверхпроводимости  $I_r$  и минимальный ток распространения нормальной фазы  $I_p$ .

Величина тока  $I_t$  определяется переходом от пузырькового кипения к пленочному. Этот переход происходит при незначительном росте температуры проводника ( $\approx 0,5 + 1^0 \text{ K}$ ) и максимальном удельном тепловом потоке  $g_n$ , достигающем для пузырькового кипения в случае открытой поверхности  $0,8 \text{ вт}/\text{см}^2$ . Ток восстановления  $I_r$  соответствует переходу от пленочного кипения к пузырьковому, который имеет место при более низком значении удельного теплового потока, например,  $g_r \approx 0,15 \text{ вт}/\text{см}^{2/3}$  и зависит от критической температуры сверхпроводника. С точки зрения достижения максимально возможных плотностей тока в частично стабилизованных сверхпроводниках важно знать ток  $I_p$ , ниже которого не происходит распространения случайно возникшей из-за тепловых флуктуаций нормальной фазы вдоль проводника. Выражение для  $I_p$  имеет вид<sup>/5/</sup>:

$$I_p = I_c \left( \sqrt{\frac{1}{4\alpha^2} + \frac{2}{\alpha}} - \frac{1}{2} \alpha \right) , \quad (3)$$

где  $\alpha$  — параметр Стекли. Величина удельного потока  $q_e$ , соответствующего  $I_p$ , оценивалась в работе<sup>/3/</sup>. Оценки показали, что типичные значения  $q_e$  для различных катушек находятся в пределах  $0,29+0,48 \text{ вт}/\text{см}^2$ .

Существует ряд методов измерений перечисленных выше токов и соответствующих им удельных тепловых потоков.

Ток  $I_p$  определяется по началу распространения вдоль проводника нормальной зоны, искусственно созданной с помощью магнитных<sup>/6/</sup> или тепловых<sup>/7/</sup> импульсов. Эта зона может быть также создана путем замены на отдельном участке комбинированного проводника сверхпроводящих жил

обычным металлом<sup>8/</sup>. Распространение нормальной зоны по всему проводнику в этом случае происходит при токе  $I_t$ .

Значение тока  $I_t$  и соответствующего ему теплового потока определяют, понижая ток в комбинированном проводнике, предварительно выведенном из сверхпроводящего состояния.

Настоящая работа была предпринята с целью создания и испытания 4-х типов сверхпроводящих кабелей для 40-сантиметрового соленоида действующей жидколовородной пузырьковой камеры<sup>9/</sup>.

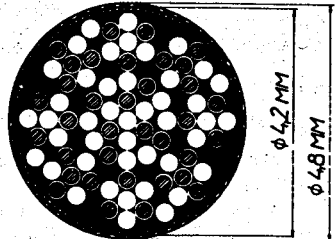
### Конструктивное исполнение кабелей

Конструкции кабелей показаны на рис. 1. Токоведущая часть всех кабелей выполнена методом правильной скрутки стренг, состоящих из сверхпроводящих и медных проволок. Кабели №1 и №2 имеют центральную 19 проволочную стренгу, вокруг которой уложено в процессе скрутки восемь семипроволочных стренг. Кабели №3 и №4 состоят из 7 стренг, содержащих по 7 проволок каждая. С целью повышения устойчивости конструкции промежутки (через один) между стренгами во внешнем повиве заполнены медной проволокой. Скрученные между собой стренги заключены в оплетку из медной проволоки, которая предотвращает возможное их расплетение и улучшает стабилизацию.

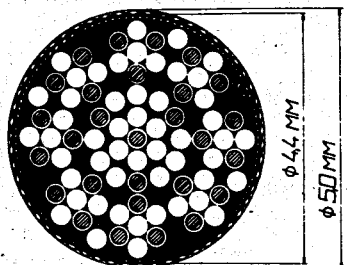
В процессе отработки технологии изготовления кабелей большое внимание уделялось выбору шагов скрутки, от которых зависит гибкость жилы, экономичный расход сверхпроводящих материалов и технологичность процесса производства на последующих стадиях изготавления кабелей.

Индирование кабелей производилось на специальной установке горячего покрытия после тщательной предварительной подготовки поверхности проволок (обезжикивание органическими растворителем, травление в смеси бихромата аммония и серной кислоты с последующей промывкой и сушкой). Исследование ряда флюсов показало, что наилучшие результаты достигались при применении флюса на основе солянокислого гидразина.

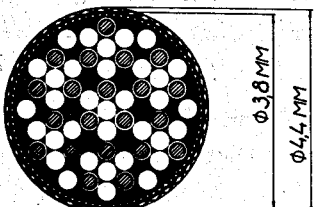
В качестве сверхпроводящего материала использована проволока из сплавов 65-БТ (кабель №1) и Nb+50% Zr (кабели №№2, 3, 4). Критические характеристики коротких образцов этих материалов были измерены перед



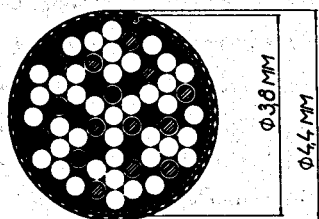
Кабель №. 35 сверхпроводящих жил из сплава б5бТ+44 медных жилы  $I_c = 1000$  а в поле 65 кес



Кабель №2. 28 сверхпроводящих жил из сплава Nb+50% Zr +51 медная жила.  $I_c = 1000$  а в поле 60 кес.



Кабель №3. 21 сверхпроводящая жила из сплава Nb+50% Zr +34 медных жилы.  $I_c = 1000$  а в поле 50 кес.



Кабель №4. 15 сверхпроводящих жил из сплава Nb +50% Zr +40 медных жил  $I_c = 1000$  а в поле 45 кес.

- - сверхпроводник;
- - медь;
- - индия;

- — — медная оплетка+индия;
- — — оплетка из лавсона

Рис 1 Сверхпроводящие кабели предназначенные для соленоидо-жидкостного радиоизотопной пузырьковой камеры.

комплектацией кабелей сверхпроводящими проволоками, число которых в каждом типе кабеля затем выбиралось с учётом распределения магнитного поля по сечению обмотки<sup>/10/</sup>. На рис. 2 и 3 показаны области разброса критических характеристик сверхпроводников, использованных в кабелях №1 и №4.

Стабилизирующим материалом служит бескислородная медь марки МБ сорт А (99,7%), подвергнутая специальной обработке для обеспечения высоких электрических и механических характеристик. При этом отношение удельных сопротивлений, измеренных при комнатной и гелиевой температурах и нулевом значении магнитного поля, составляет  $\approx 100$ . Зависимость удельного сопротивления стабилизирующего материала от величины поперечного магнитного поля представлена на рис. 4. Эта зависимость была найдена из вольт-амперных характеристик образцов кабелей.

Изоляция кабелей представляет собой сетчатую оплетку из лавсановой тесьмы. Плотность оплетки составляет 30%, а толщина по радиусу — 0,4 мм. Предел прочности изоляции на сжатие, определяемый по появлению электрического контакта между соседними проводниками, составил при  $300^{\circ}\text{K}$   $\approx 100$  тонн на метр длины кабеля. В 40-сантиметровом сверхпроводящем соленоиде сила притяжения между двумя катушками составляет  $\approx 600$  тонн<sup>/11/</sup>, что соответствует средней нагрузке на кабель  $\approx 6,5$  тонн/метр.

#### Измерения характеристик образцов кабелей

Измерения токовых характеристик стабилизированных кабелей проводились в поперечном магнитном поле сверхпроводящего соленоида, создающего максимальное поле 50 кгс в рабочем объеме диаметром 22 мм<sup>/11/</sup>. При использовании концентраторов из стали армко, имеющих зазор между полюсами 5 мм, величина магнитного поля достигала 65 кгс. Исследовались как короткие образцы кабеля, устанавливаемые между полюсами концентраторов (рис. 5а), так и навитые на текстолитовый каркас диаметром 9 мм небольшие однослойные катушки (рис. 5б), помещаемые непосредственно в рабочий объем соленоида.

Неоднородность магнитного поля в области расположения катушек составляла 2%. На небольшой длине ( $\approx 15$  мм) каждого образца в области

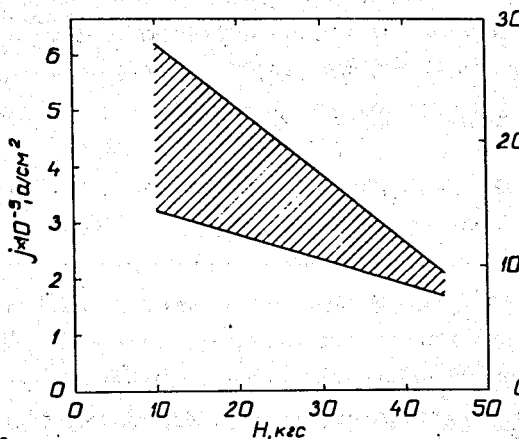


Рис 2 Область критических характеристик коротких образцов проволок из сплава Nb+50%Zr, использованных в кабеле №4.

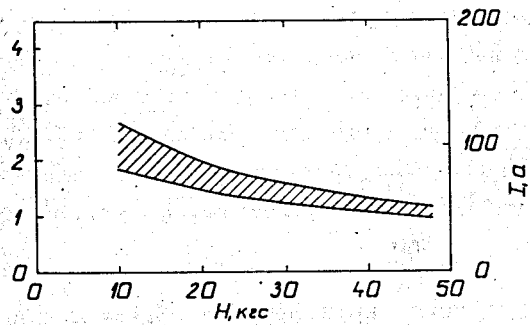


Рис 3 Область критических характеристик коротких образцов проволок из сплава 656Т, использованных в кабеле №1.

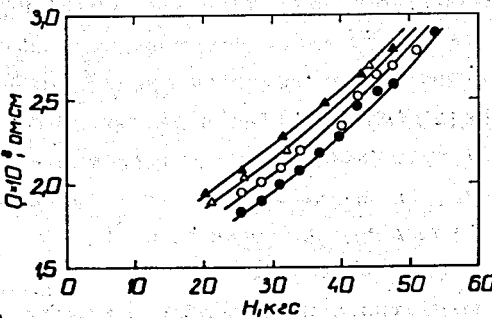
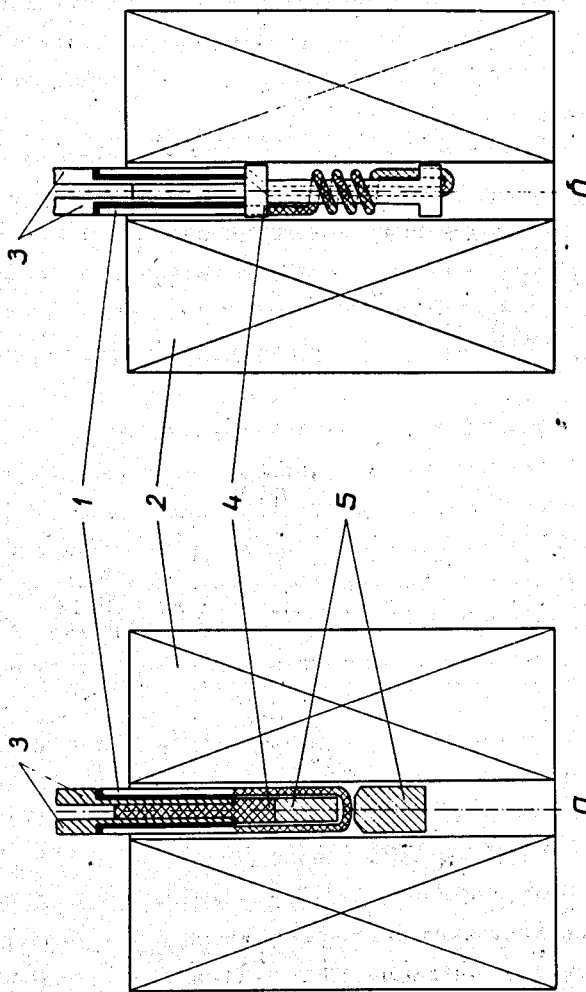


Рис 4 Зависимость удельного сопротивления стабилизирующего материала сверхпроводящих кабелей от напряженности магнитного поля при гелиевой температуре.  
Кабели: ○ - №1; ● - №2; △ - №3; ▲ - №4



**Рис 5 Схемы испытания образцов кабеля:**  
**1-короткий образец в эзфре ферромагнитного сердечника, 2-однослойная катушка.**  
**3-тоководы. 4-изолятор из текстилита. 5-ферромагнитный сердечник.**

максимального поля устанавливался нагреватель. Ряд потенциальных выводов позволял контролировать напряжение на различных участках образца. Ток и напряжение образца регистрировались 2-координатным самопищущим потенциометром типа ПДС-021.

Ввод тока в образец осуществлялся через охлаждаемые потоком испарившегося гелия медные ленточные токовводы сечением  $60 \text{ mm}^2$  каждый, что позволяло пропускать ток до 3000 а. Верхние участки токовводов дополнительно охлаждались жидким азотом. Источником тока служил мотор-генератор АНДМ-1500, обеспечивающий в форсированном режиме ток до 3000 а. Питание нагревателя осуществлялось от импульсного источника, создающего тепловые импульсы мощностью до 1 вт.

Вольт-амперные характеристики для одного из исследуемых типов кабеля представлены на рис. 6. Напряжение на коротком образце кабеля, помещенного в зазоре концентратора, появляется при токе  $I_c$  и плавно увеличивается до тока  $I_t$ , определяемого переходом от пузырькового кипения к пленочному. При уменьшении тока и снижении температуры образца ниже  $T_{ch}$  происходит восстановление сверхпроводимости при токе  $I_r$ .

На этом же рисунке приводятся вольт-амперные характеристики для однослоиной катушки, отдельный участок которой подогревается тепловым импульсом. На рис. 6б представлена зависимость напряжения от тока для подогреваемого участка, а на рис. 6в – для всей катушки. Из рис. 6в видно, что при токе 740 ампер нормальная зона распространяется по всей катушке и не исчезает, когда тепловые импульсы от нагревателя прекращаются. Этот ток определялся как минимальный ток распространения нормальной зоны  $I_p$ .

Зависимость основных токов  $I_t$ ,  $I_c$ ,  $I_r$  и  $I_p$  от напряженности магнитного поля показана на рис. 7. Средняя плотность критического тока сверхпроводящего материала кабелей составляет в магнитном поле напряженностью 50 кгс  $\approx 1 \cdot 10^5 \text{ а}/\text{см}^2$ , в поле 30 кгс  $- 1,3 \cdot 10^5 \text{ а}/\text{см}^2$  для кабеля №1 и  $\approx 1,8 \cdot 10^5 \text{ а}/\text{см}^2$  для кабелей №2, 3, 4. Следует отметить, что измеренное значение критического тока  $I_c$  для кабелей оказалось ниже суммарной величины критического тока отдельных сверхпроводящих проволок приблизительно на 20 – 30%.

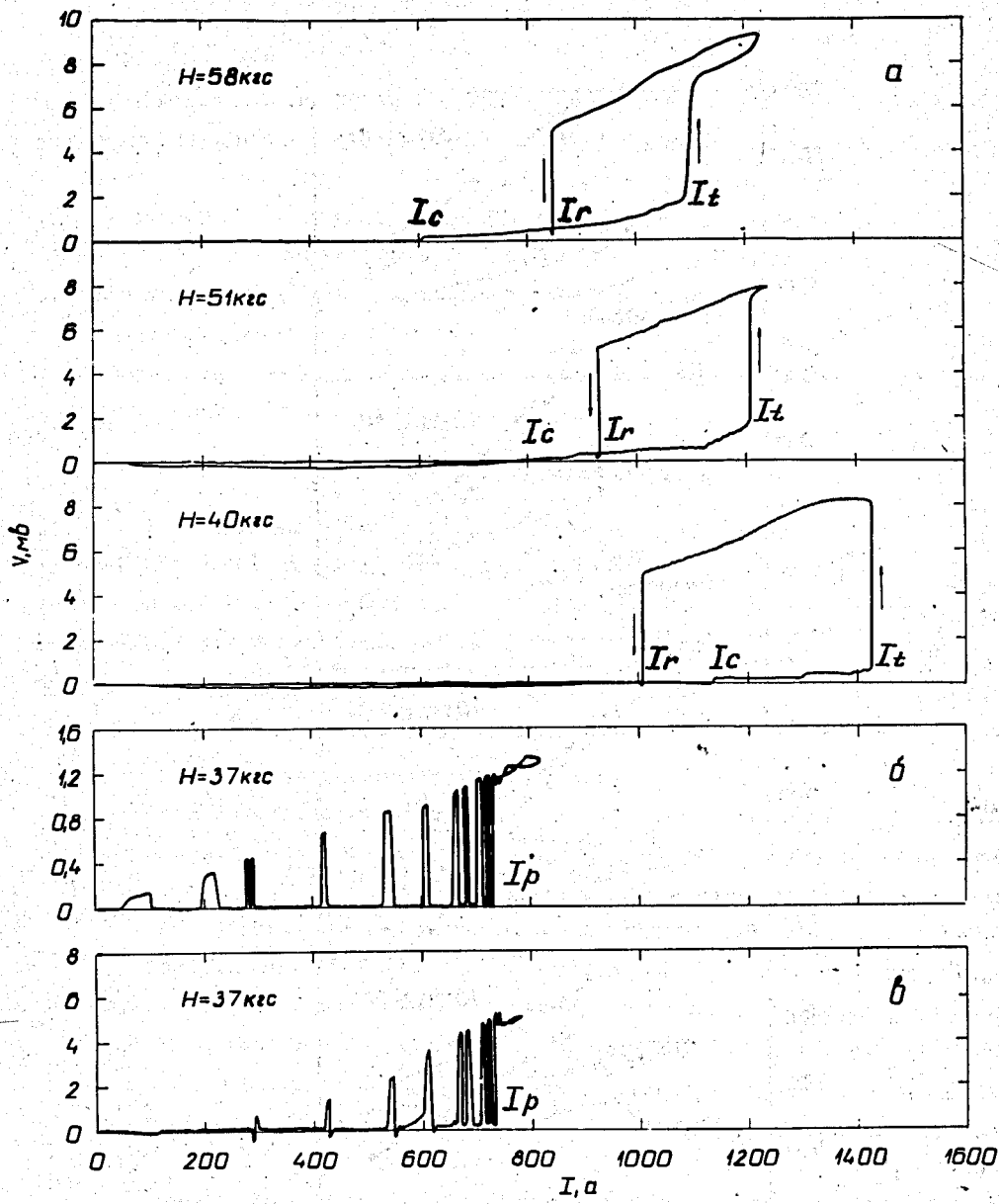


Рис. 6 Типичные вольт-амперные характеристики кабеля №3:  
а-для короткого образца кабеля без импульсного подогрева; б-для короткого участка однослоиной катушки, подогреваемого тепловым импульсом; в-для всей катушки, отдельный участок которой подогревается тепловым импульсом.

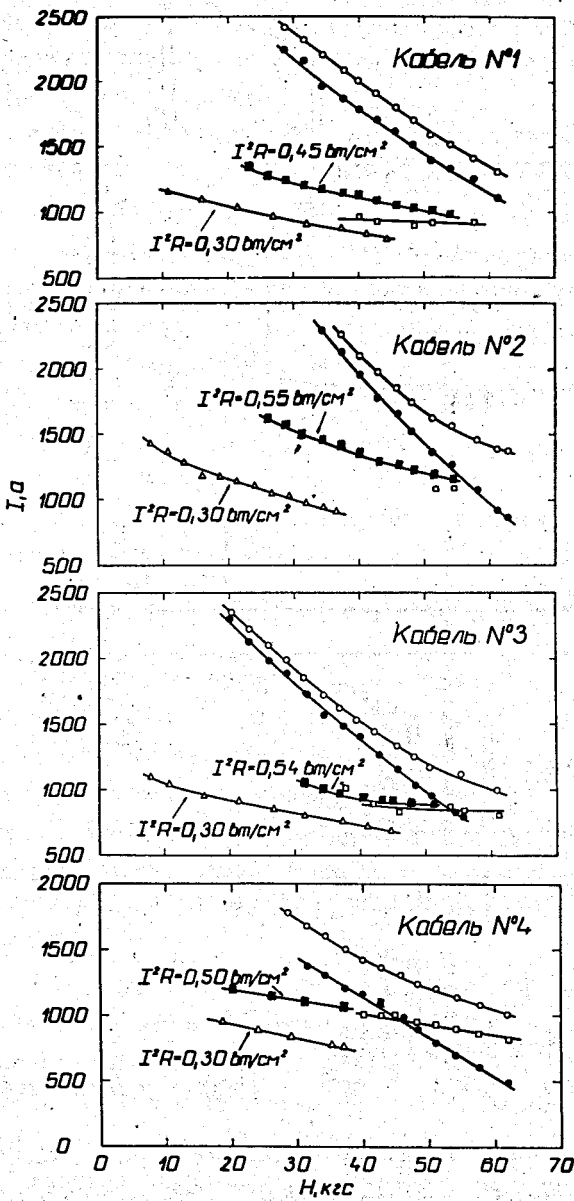


Рис. 7 Зависимость основных токов сверхпроводящих кабелей от напряженности магнитного поля  
 ○ — ток перехода  $I_t$ ; ● — критический ток  $I_c$ ;  
 ■, □ — ток восстановления сверхпроводимости  $I_r$ ;  $\triangle$  — ток распространения  $I_p$ .

Токи восстановления сверхпроводимости  $I_r$  были определены для коротких образцов кабеля как с импульсными нагревателями ( $I^2 R \approx 0,5$ ), так и без них. Из рис. 7 видно, что значения токов восстановления, полученные этими методами, в пределах точности измерений совпадают. Минимальный ток распространения нормальной зоны  $I_p$  оказался равным приблизительно 750 ампер для всех кабелей в магнитном поле 40 кгс. При этом действительная величина удельного теплового потока с поверхности кабеля, полученная с использованием данных по нормальному сопротивлению стабилизирующего материала, составила  $0,30 \text{ вт}/\text{см}^2$ .

### Основные выводы и результаты

Разработаны и изготовлены сверхпроводящие кабели 4-х типов на токи 1000 ампер для магнитных полей 65, 60, 50 и 45 кгс.

Проведено измерение коротких образцов этих кабелей. При этом максимальный удельный тепловой поток  $q_n$  для пузырькового кипения был найден равным  $0,8 \pm 0,9 \text{ вт}/\text{см}^2$ , а минимальный поток  $q_i$  для пленочного кипения, соответствующий восстановлению сверхпроводимости -  $0,4 \pm 0,6 \text{ вт}/\text{см}^2$ . Эти значения согласуются с данными, приведенными в работах [3, 4].

Токи восстановления для всех типов кабелей, найденные из вольт-амперных характеристик для коротких образцов, полученных с нагревателем и без него, согласуются со значениями токов, вычисленными по формуле (2) с использованием действительной величины для удельного потока.

Токи распространения для однослойных катушек, измеренные методом импульсного нагрева, меньше величин, полученных из формулы (3), и в пределах точности измерений близки к значениям токов восстановления, определяемым формулой (2). Указанные расхождения, по-видимому, объясняются сравнительной малой длиной ( $\approx 10 \text{ см}$ ) измеряемого участка кабеля.

Полученные результаты позволяют надеяться, что данные кабели смогут обеспечить расчётные характеристики соленоида жидколоводородной пузырьковой камеры.

В заключение авторы выражают благодарность группе Н.И. Баландикова за бесперебойное снабжение жидким гелием, а также Ю.А. Кузнецовой и А.П. Манычу за помощь при проведении измерений.

## Л и т е р а т у р а

1. C. Laverich. Bull. Amer. Phys. Soc., 9, 558 (1964).
2. Steekly Z.I.I., Zar I.L., Trans. IEEE, NS-12, 367 (1965).
3. Maddock B.I. et al. Cryogenics, August (1969).
4. Wilson M.N. Proc. II Intern. Conf. on Magnet Technology, 482 Oxford, 1967.
5. Кейлин В.Е. и др. Сб. "Les champs magnétiques intenses", Paris, 231 (1967).
6. Donadien L., Roubeau P. Там же, стр. 303.
7. Cummings R.D. and Smith I.L. Liquid Helium Technology, p. 85, Pergamon, Oxford, 1966.
8. Purcell I.R. and Brooks I.M. J. Appl. Phys., 38, 3109 (1967).
9. Багдасаров С.К. и др. Материалы рабочего совещания по технике пульсирковых камер. Сообщение ОИЯИ 13-4466, 138 (1969).
10. Ткачёв Л.Г. Там же стр. 150.
11. Гераскин Е.В. и др. Там же стр. 142.

Рукопись поступила в издательский отдел

30 июня 1970 года.